

# Содержание

<b>Введение</b> . . . . .	<b>8</b>
 <i>Глава 1</i>	
<b>Новые ультразвуковые технологии, расширяющие возможности стандартного ультразвукового исследования в ангиологии</b> . . . . .	<b>9</b>
<b>Количественная оценка акустической структуры</b> (acoustic structure quantification — ASQ). . . . .	<b>9</b>
<b>Допплеровская визуализация тканей</b> (тканевое доплеровское исследование — ТДИ, tissue doppler imaging — TDI). . . . .	<b>10</b>
<b>Технология улучшенного динамического потока</b> (advanced dynamic flow — ADF). . . . .	<b>11</b>
<b>Картирование микрососудистого русла с высоким пространственно-временным разрешением</b> (superb microvascular imaging — SMI). . . . .	<b>12</b>
<b>Ультразвуковая компрессионная эластография (УЗЭГ)</b> . . . . .	<b>14</b>
<b>Технология перспективной визуализации (Fly Thru)</b> . . . . .	<b>19</b>
<b>Технология улучшения распознавания микрокальцинатов в поверхностно расположенных органах (MicroPure)</b> . . . . .	<b>23</b>
 <i>Глава 2</i>	
<b>Новые ультразвуковые технологии в исследовании артериального русла</b> . . . . .	<b>25</b>
<b>Возможности стандартного ультразвукового исследования</b> . . . . .	<b>25</b>
<i>Классификация каротидных стенозов на основании ультразвуковых и ангиографических особенностей</i> . . . . .	<b>28</b>
<i>Сравнение эффективности лучевых методов оценки атеросклеротического поражения сонных артерий</i> . . . . .	<b>28</b>
<i>Задачи ультразвукового исследования сонных артерий с использованием новых технологий</i> . . . . .	<b>29</b>
<b>Применение новых ультразвуковых технологий для исследования различных этапов атеросклеротического процесса</b> . . . . .	<b>30</b>
<b>Атеросклероз</b> . . . . .	<b>40</b>

<i>Визуализация vasa vasorum</i> . . . . .	40
<i>Дисфункция эндотелия</i> . . . . .	43
<i>Атеросклеротическая бляшка</i> . . . . .	48
<i>Нормальная сосудистая стенка</i> . . . . .	49
<i>Этап перехода от нормальной стенки артерий к формированию атеросклеротического поражения (стадия липоидоза)</i> . . . . .	49
<i>Этап формирования фиброзно-липидной бляшки</i> . . . . .	51
<i>Этап созревания атеросклеротической бляшки</i> . . . . .	52
<i>Этап тромботических осложнений атеросклероза</i> . . . . .	54
<b>Глава 3</b>	
<b>Новые ультразвуковые технологии в исследовании венозного русла</b> . . . . .	57
<b>Методы и задачи диагностики хронических заболеваний вен</b> . . . . .	57
<b>Применение новых ультразвуковых технологий для диагностики хронических заболеваний вен</b> . . . . .	58
<b>Острый тромбоз. Посттромботическая болезнь</b> . . . . .	71
<i>Клинический пример 1</i> . . . . .	71
<i>Клинический пример 2</i> . . . . .	78
<i>Клинический пример 3</i> . . . . .	84
<i>Клинический пример 4</i> . . . . .	86
<i>Клинический пример 5</i> . . . . .	88
<i>Клинический пример 6</i> . . . . .	91
<i>Клинический пример 7</i> . . . . .	106
<i>Клинический пример 8</i> . . . . .	109
<i>Клинический пример 9</i> . . . . .	111
<b>Приложение</b>	
<b>Комментарии к видеофрагментам</b> . . . . .	117
<b>Рекомендуемая литература</b> . . . . .	125
<b>Список сокращений</b> . . . . .	129

## Глава 3

# Новые ультразвуковые технологии в исследовании венозного русла

## Методы и задачи диагностики хронических заболеваний вен

В настоящее время, как вследствие своей большой распространенности, так и в силу затрат на диагностику и лечение, не потеряла актуальности проблема развития и прогрессирования хронической венозной недостаточности (ХВН). По данным одних исследователей, частота встречаемости ХВН составляет от 25–33% среди женщин и 10–20% среди мужчин, другие приводят данные до 89% у женщин и 66% у мужчин. Частота отеочного синдрома и трофических нарушений (гиперпигментация, липодерматосклероз, экзема), обусловленных осложненным течением ХВН, варьирует от 3 до 11%. Венозные трофические язвы встречаются в 0,3% случаев среди взрослого населения европейских стран с признаками ХВН. Общая частота открытых и заживших трофических язв венозной этиологии равна 1%. Общий прогноз по заживлению венозных трофических язв и на сегодняшний день остается пессимистическим: только 50% из них заживают в течение ближайших 4 месяцев, 20% остаются открытыми на протяжении 2 лет, 8% не заживают при 5-летнем наблюдении. Даже в случае закрытия трофических язв частота рецидивов остается на уровне 6–30% несмотря на соблюдение всех стандартных врачебных рекомендаций.

Крупные европейские эпидемиологические исследования также подтвердили высокую распространенность ХВН в популяции в абсолютных цифрах, хотя отмечена явная тенденция уменьшения частоты распространенности осложненных форм ХВН. Это явилось следствием активного внедрения целенаправленной образовательной программы ранней диагностики как среди врачей всех специальностей, так и среди пациентов.

### **Основные нозологические формы хронических заболеваний вен (ХЗВ) нижних конечностей:**

- варикозная болезнь нижних конечностей;
- острый тромбоз, посттромботическая болезнь;
- ангиодисплазии;
- телеангиэктазии и ретикулярный варикоз;
- флебопатия.

### **Методы диагностики хронических заболеваний вен:**

- клиническое обследование;
- УЗ-исследование (В-режим, режим ЦДК, энергетическое картирование, режим спектральной доплерографии, недоплеровские методики визуализации кровотока);
- флебография;
- КТ-венография, МРТ-венография;
- плетизмография;
- интраваскулярная эхография;
- термография.

**Задачи диагностики хронических заболеваний вен:**

- 1) обнаружить факт наличия ХЗВ;
- 2) определить нозологический тип ХЗВ;
- 3) выработать стратегию лечения (хирургический способ или консервативное лечение);
- 4) выработать тактику лечения (оптимальная лечебная методика/методики, их сочетание и последовательность применения);
- 5) дать объективную оценку эффективности лечебных действий.

**Возможности ультразвукового ангиосканирования и доплерографии:**

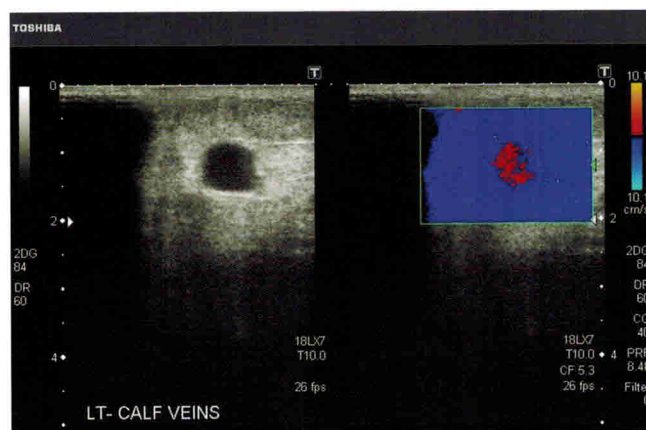
- обнаружение вариантной анатомии вен;
- определение состояния стенок вен (эхоструктура и экзогенность);
- визуализация просвета вены, степень его сжимаемости (компрессивности);
- исследование состояния и функции клапанов;
- определение направления кровотока и его скоростных характеристик, патологических венозных сбросов;
- оценка состояния окружающих тканей.

**Ограничения ультразвукового ангиосканирования и доплерографии:**

- операторозависимость методики;
- сложности визуализации при вариантной анатомии (рассыпной тип);
- ограничения УЗ-окна (анатомические особенности строения нижней конечности, отек, индивидуальные особенности жировой клетчатки);
- сложности визуализации гипозоногенных пристеночных тромбов;
- высокий риск диагностической компрессии свежих тромбов.

## Применение новых ультразвуковых технологий для диагностики хронических заболеваний вен

В ультразвуковых сканерах экспертного класса Toshiba Medical Systems используется ряд уникальных на сегодняшний день технологий, подробно рассмотренных в главе 1. У этих технологий есть одно очень важное преимущество: при включении их в исследование не требуется сложных технических манипуляций и дополнительных временных затрат как для исследователя, так и для пациента, а ответы на вопросы клиницистов становятся максимально расширенными.

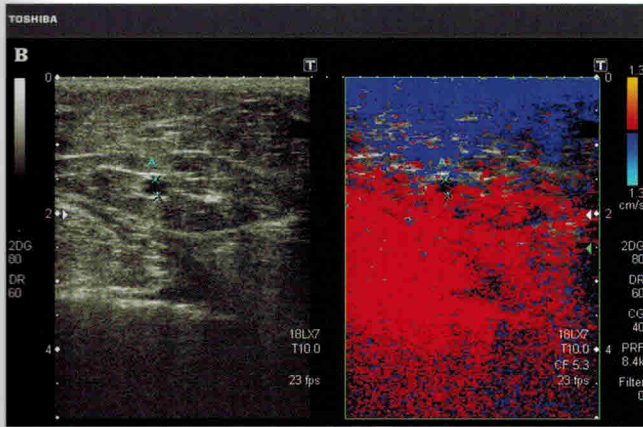
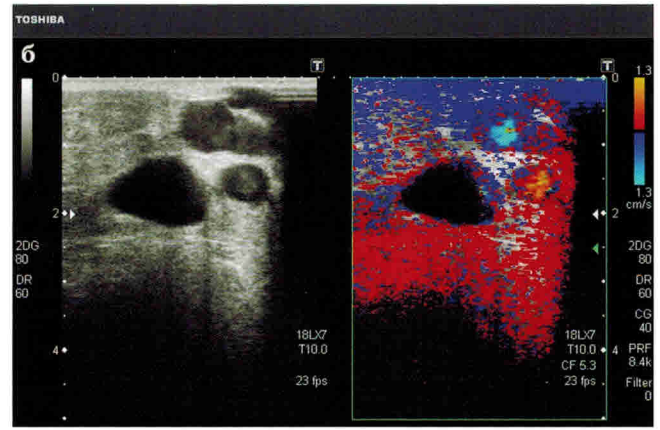
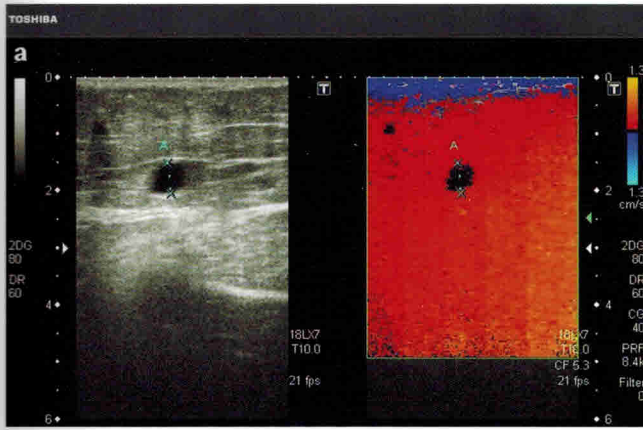


**Рис. 47.** Исследование в В-режиме / режиме TDI: вена с признаками окклюзирующего тромбоза — наличие «ткани» в просвете сосуда в режиме TDI.

**Тканевое доплеровское исследование**

При исследовании вен нижних конечностей пациентов с подозрением на тромбоз у врача УЗД не всегда есть возможность безопасной диагностической компрессии сосуда. Режим TDI позволяет, не производя компрессионной пробы, получать данные о просвете вены.

В этом режиме тромботические массы окрашиваются в цвет тканевой структуры, а кровотоки на свободных участках регистрируются в виде мозаичного окрашивания (рис. 47–49). Неизменная вена имеет анэхогенный просвет, а в режиме TDI не имеет цветового кодирования.



**Рис. 48. Исследование в В-режиме / режиме TDI:**

**а** — неизменная вена (x...x);

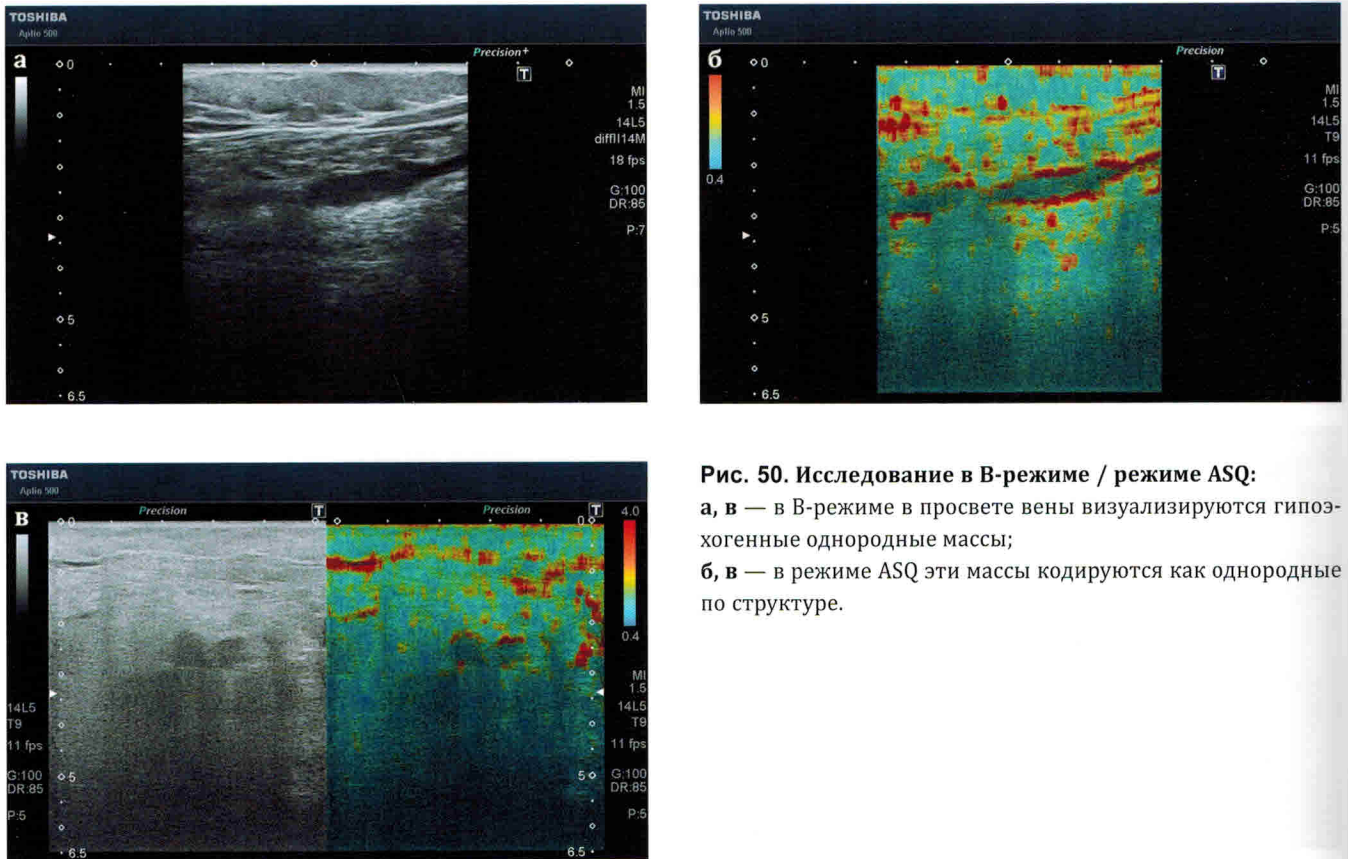
**б** — варикозно трансформированная вена: отсутствие цветового окрашивания свободного просвета крупного притока вены; более мелкие, но проходимые вены окрашиваются с алайзинг-эффектом;

**в** — неизменная вена (x...x) малого диаметра.



**Рис. 49. Исследование в режиме ЦДК и в режиме TDI:**

**а** — режим ЦДК, поперечное сканирование: вена с признаками острого венозного тромбоза (неокклюзирующий тромбоз); **б, в** — режим TDI, поперечное (**б**) и продольное (**в**) сканирование той же вены; тромботические массы (окрашены в цвет ткани) с пристеночными включениями, отражающими ускоренный кровоток в неокклюзированной части сосуда.



**Рис. 50. Исследование в В-режиме / режиме ASQ:**  
**а, в** — в В-режиме в просвете вены визуализируются гипоэхогенные однородные массы;  
**б, в** — в режиме ASQ эти массы кодируются как однородные по структуре.

### Количественная оценка акустической структуры

На эхограммах, представленных на рисунке 50, в В-режиме в просвете вены визуализируются гипоэхогенные массы, которые в режиме ASQ кодируются как однородные по структуре.

На эхограммах, представленных на рисунке 51, в В-режиме в просвете вены визуализируются преимущественно гипоэхогенные массы, которые в режиме ASQ кодируются как неоднородные по структуре, с наличием плотных включений не только по контуру, но и в центре тромботических масс.

### Ультразвуковая компрессионная эластография

На эхограммах, представленных на рисунках 52 и 53, тромботические массы кодируются преимущественно синим цветом, а свободный просвет вены с наличием потока крови — красным.

### Технология перспективной визуализации

Наши исследования, в результате которых мы получили представленный в руководстве материал, дают основание полагать, что оптическую передачу особенностей наружной структуры поверхности изучаемой ткани в сочетании с феноменом светового блика можно считать своего рода специфическими паттернами, позволяющими использовать данные характеристики в качестве диагностически значимых критериев (камень/полип и т. д.).

Технология Fly Thru является единственной среди неинвазивных технологий трехмерной визуализации, позволяющей получить объемные изображения внутреннего просвета (взгляд «изнутри») тубулярных по форме структур (желчные протоки, вены; млечные протоки; брахиоцефальные и периферические сосуды), за счет возможности внутрисосудистой навигации исследовать внутреннюю поверхность диагностируемой полости со всеми локализованными в ней структурами и образованиями (атеросклеротические бляшки в просвете брахиоцефальных сосудов, пристеночные тромботические массы в просвете вены).

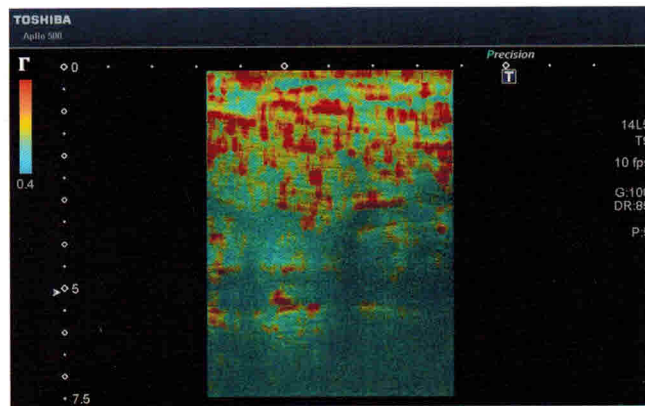
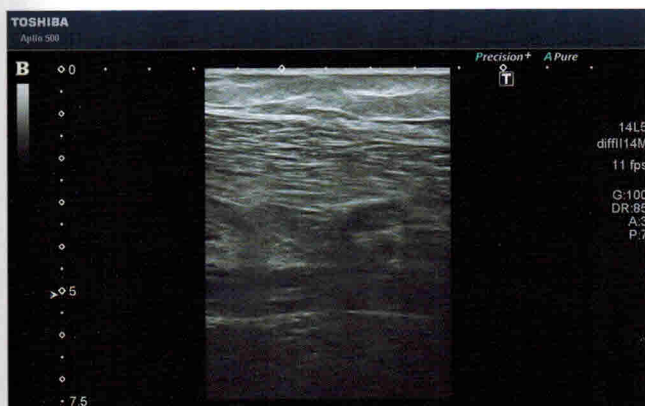
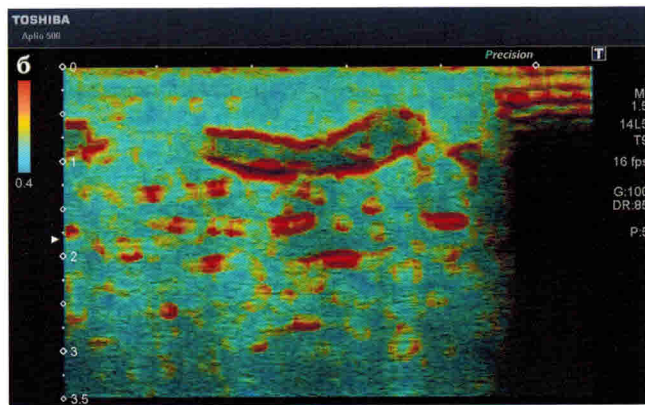
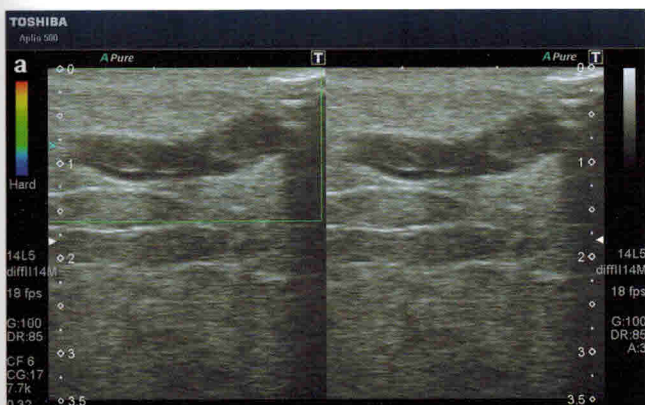


Рис. 51. Исследование в В-режиме (а, в) и в режиме ASQ (б, г): в В-режиме в просвете вены визуализируются гипоэхогенные, подтверждающиеся данными исследования в режиме ASQ тромботические массы.

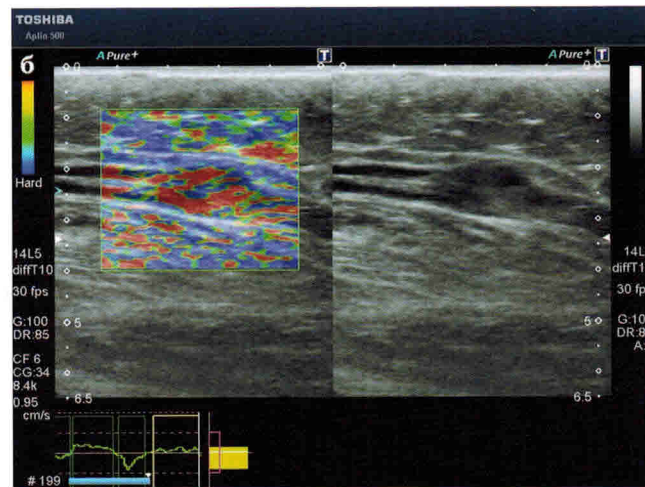
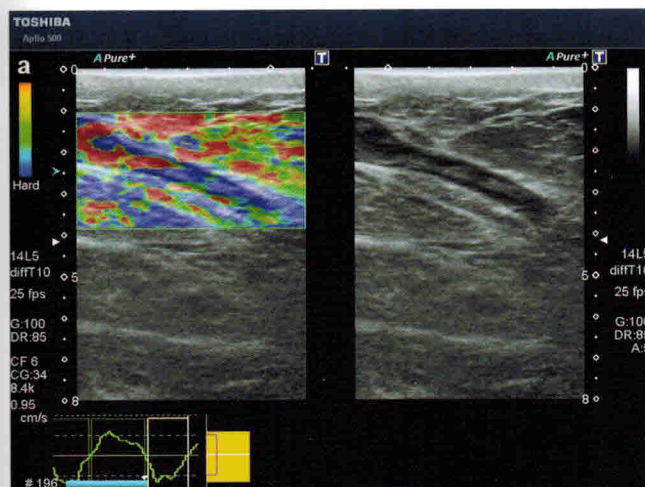
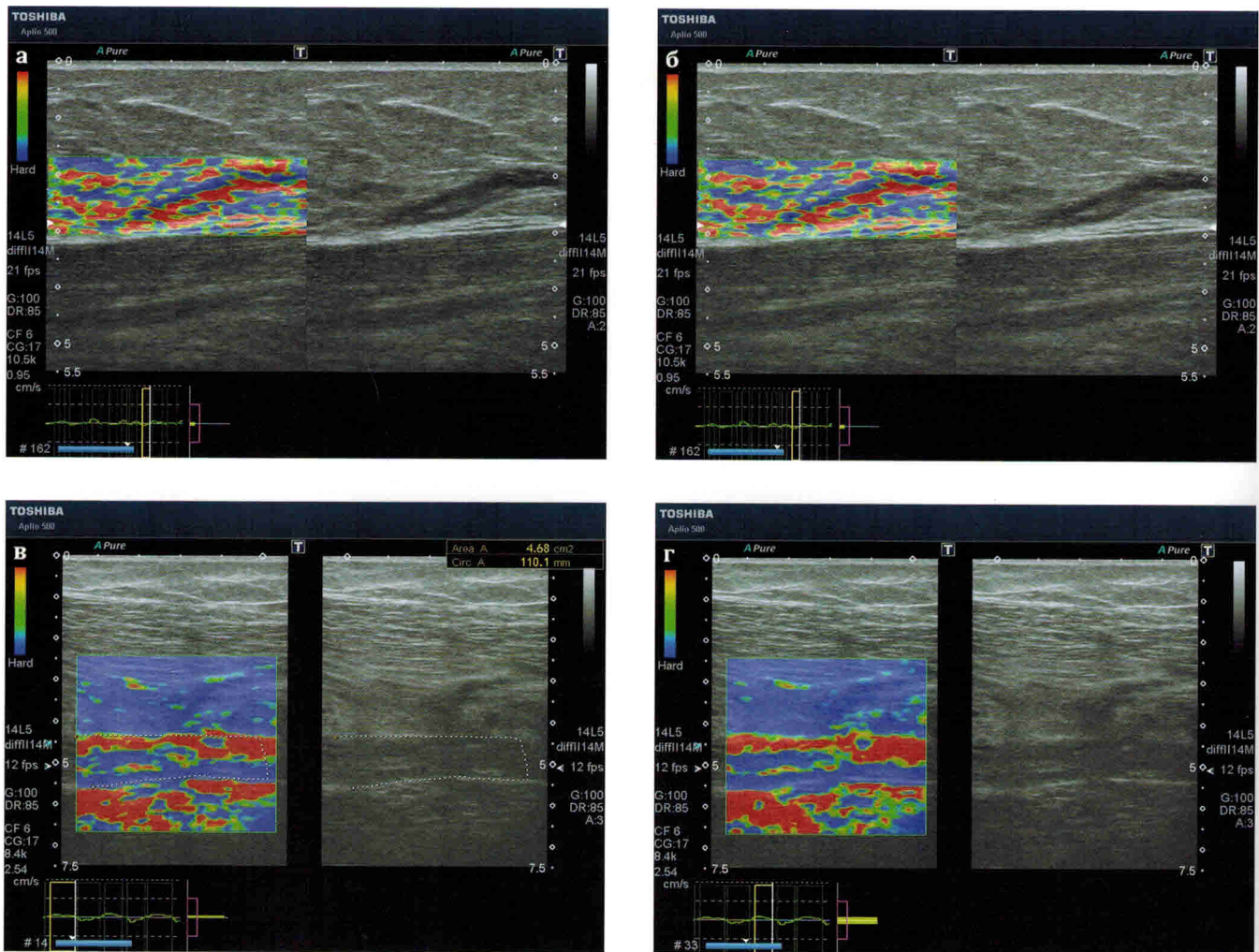


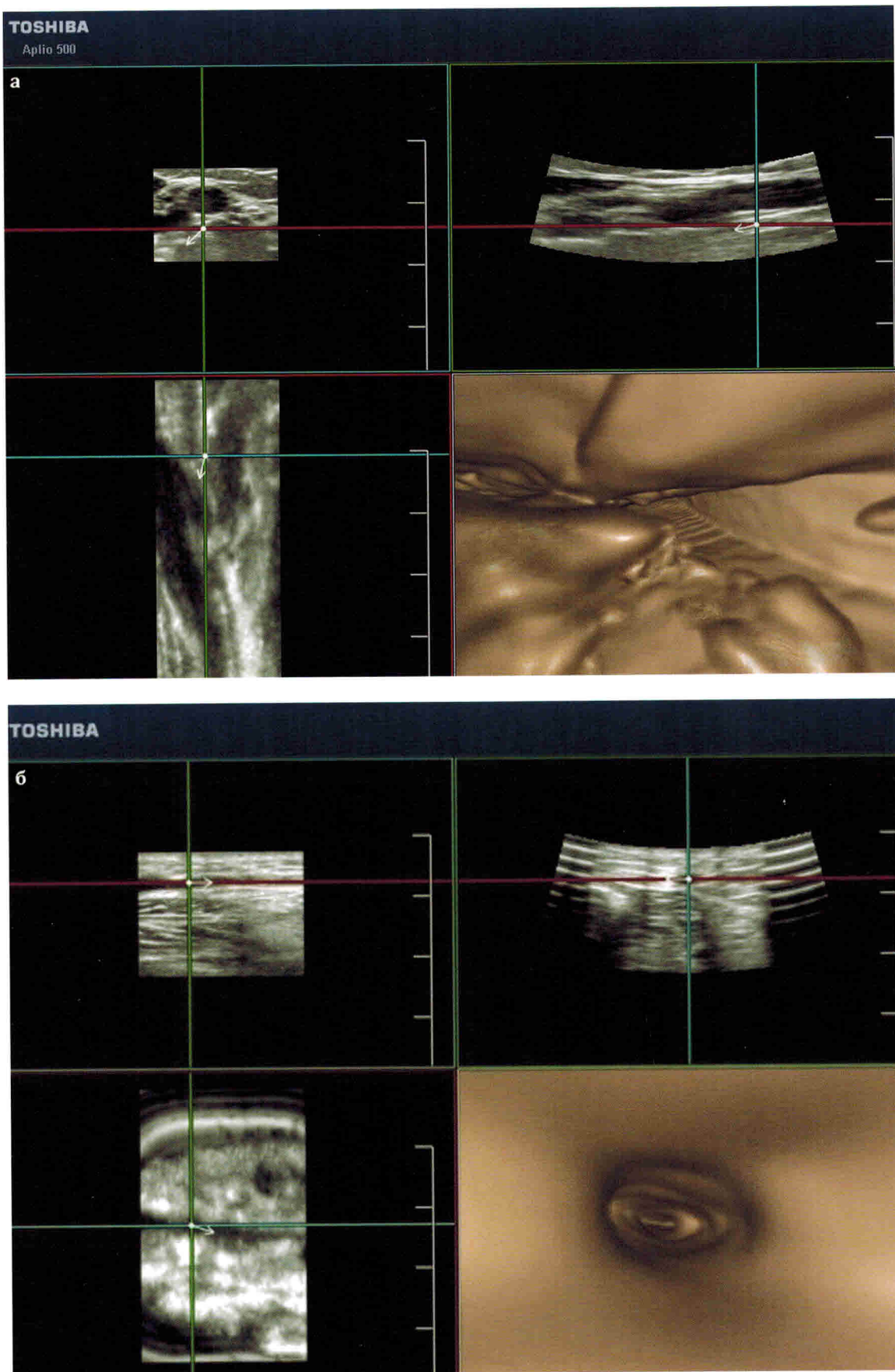
Рис. 52. Исследование в В-режиме / режиме УЗЭГ: в В-режиме в просвете вены визуализируются гипоэхогенные тромботические массы неокклюзирующего характера, подтверждающиеся данными, полученными в режиме УЗЭГ.



**Рис. 53. Исследование в В-режиме / режиме УЗЭГ:** в В-режиме в просвете вены визуализируются гипозоногенные тромботические массы неокклюзирующего характера, подтверждающиеся данными, полученными в режиме УЗЭГ.

Второй режим — инверсии (взгляд «снаружи») представляет не меньший интерес. На примере работы с сосудистыми структурами, такими как внутриорганные ветви, магистральные сосудистые стволы, можно убедиться в ценности получения объемного изображения сосудов извне. По сути, становится доступным построение виртуальной трехмерной модели, показывающей архитектуру части исследуемого сосудистого бассейна.

На рисунках 54–60 представлены примеры, полученные в режиме виртуальной ангиографии — взгляд «снаружи» и в режиме внутрипросветной виртуальной эхографии — взгляд «изнутри».



**Рис. 54. Исследование в режиме Fly Thru: неизменная вена в режиме виртуальной ангиографии — взгляд «снаружи» (а) и в режиме внутрипросветной виртуальной эхографии — взгляд «изнутри» (б).**

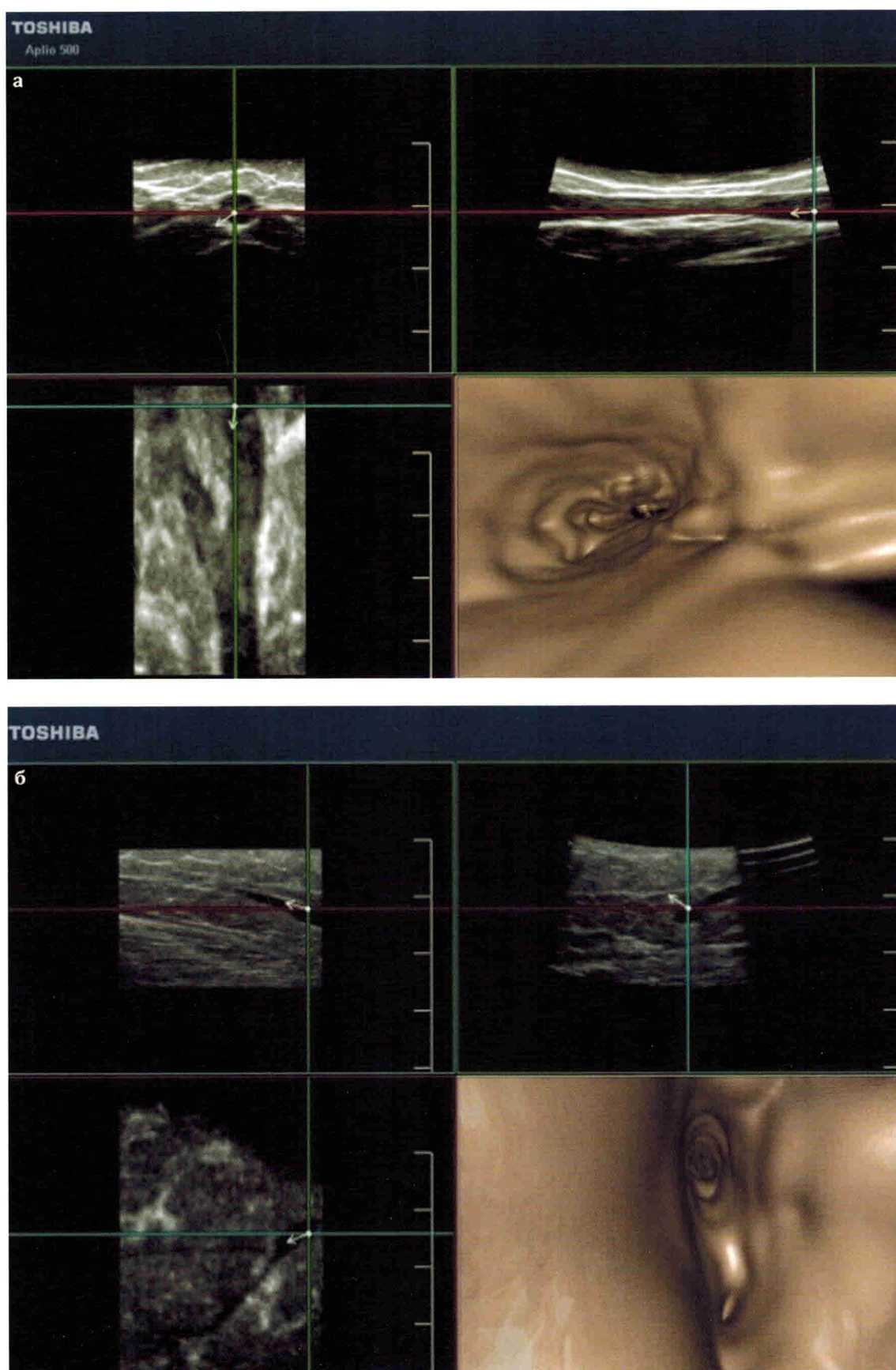


Рис. 55. Исследование в режиме Fly Thru: неизменная вена в режиме внутрисосудистой виртуальной эхографии — взгляд «изнутри».